



Universidade Federal da Paraíba
Centro de Ciências Humanas, Letras e Artes
Programa de Pós-Graduação em Neurociência Cognitiva e Comportamento

Modelo computacional sobre a dinâmica temporal da neurogênese no giro denteado e seu impacto nas funções de memória do CA3

Marlon Valmórbida Cendron

João Pessoa - PB
2025

Marlon Valmórbida Cendron

**Modelo computacional sobre a dinâmica temporal
da neurogênese no giro denteado e seu impacto
nas funções de memória do CA3**

Projeto a ser apresentado no Centro de Ciências Humanas, Letras e Artes da Universidade Federal da Paraíba, sob a orientação de Flávio Freitas Barbosa e coorientação de Wilfredo Blanco Figuerola, no mês de Agosto de 2025.

Orientador: Flávio Freitas Barbosa

Coorientador: Wilfredo Blanco Figuerola

Marlon Valmórbida Cendron

Modelo computacional sobre a dinâmica temporal da neurogênese no giro denteado e seu impacto nas funções de memória do CA3

Projeto a ser apresentado no Centro de Ciências Humanas, Letras e Artes da Universidade Federal da Paraíba, sob a orientação de Flávio Freitas Barbosa e coorientação de Wilfredo Blanco Figuerola, no mês de Agosto de 2025.

João Pessoa - PB, 20 de Agosto de 2025:

Flávio Freitas Barbosa
Orientador

Wilfredo Blanco Figuerola
Coorientador

João Pessoa - PB
2025

Resumo

Resumo

Palavras-chave: Palavra1. Palavra2. Palavra3. Palavra4. Palavra5.

Abstract

Abstract

Keywords: Word1. Word2. Word3. Word4. Word5.

Lista de tabelas

Tabela 1 – Parâmetros do modelo Izhikevich por tipo de neurônio.	14
Tabela 2 – Parâmetros das sinapses entre as populações neuronais.	16
Tabela 3 – Cronograma	18
Tabela 4 – Análise de robustez	20
Tabela 5 – Análise descritiva adicional	21

Lista de ilustrações

Figura 1 – Arquitetura da rede	14
--	----

Sumário

1	INTRODUÇÃO	9
2	JUSTIFICATIVA	10
3	OBJETIVOS	11
3.1	Objetivo geral	11
3.2	Objetivos específicos	11
4	HIPÓTESES	12
5	MATERIAIS E MÉTODOS	13
5.1	Modelo da rede neural DG-CA3	13
5.2	Modelo de neurônio	13
5.3	Modelo de sinapse	15
6	RESULTADOS ESPERADOS	17
7	CRONOGRAMA	18
	REFERÊNCIAS	19
	APÊNDICE A – ANÁLISE DE ROBUSTEZ	20
	APÊNDICE B – ESTATÍSTICAS DESCRITIVAS	21

1 Introdução

2 Justificativa

Justificativa

3 Objetivos

3.1 Objetivo geral

Desenvolver um modelo de condutância do circuito GD-CA3 do hipocampo para analisar os impactos da neurogênese adulta na capacidade de armazenamento de memória e separação de padrões.

3.2 Objetivos específicos

-
-
-

4 Hipóteses

Hipóteses

5 Materiais e Métodos

5.1 Modelo da rede neural DG-CA3

Brian2 (STIMBERG; BRETTE; GOODMAN, 2019)

Runge-Kutta de 4ª ordem com passo de tempo fixo de 0,1ms (BUTCHER, 1996).

5.2 Modelo de neurônio

Os neurônios foram modelados de acordo com o modelo de neurônio de Izhikevich de 9 parâmetros (IZHIKEVICH, 2006, cap. 8) e um único compartimento, sem considerar dendritos ou axônios. Esse modelo foi escolhido por ser capaz de capturar o comportamento dinâmico de neurônios em uma ampla variedade de condições com plausibilidade biológica, como o modelo de Hodgkin-Huxley (HODGKIN; HUXLEY, 1952), ao mesmo tempo em que apresenta um modelo matemático mais simples e computacionalmente mais eficiente. O modelo de neurônio de Izhikevich é descrito pelas seguintes equações:

$$C_m \frac{dV_m}{dt} = k(V_m - V_r)(V_m - V_t) - u + I \quad (5.1)$$

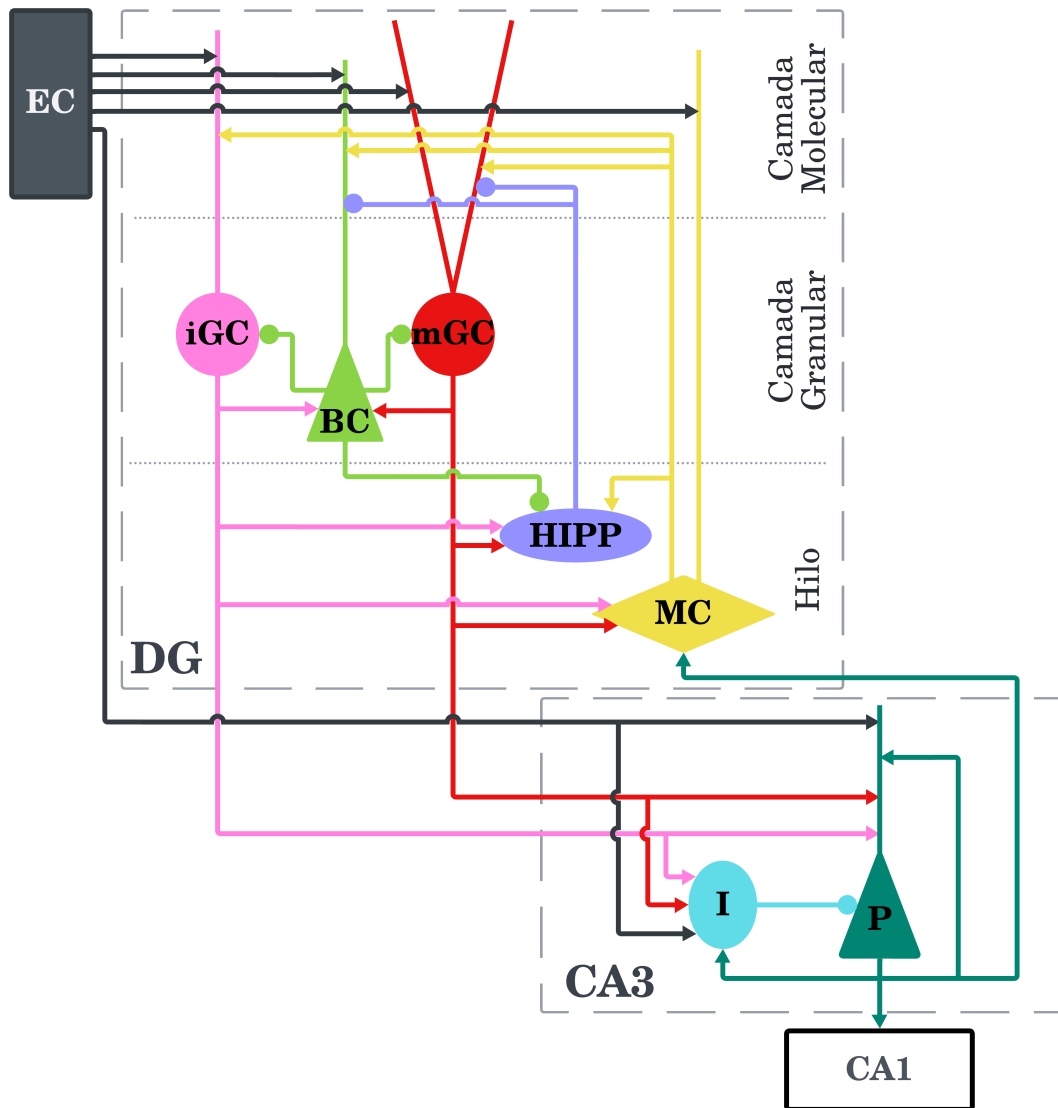
$$\frac{du}{dt} = a[b(V_m - V_r) - u] \quad (5.2)$$

Onde V_m é o potencial de membrana, u é a variável de recuperação, C_m é a capacitância da membrana, V_r é o potencial de repouso, V_t é o potencial de limiar, I é a corrente total que flui para o neurônio e k , a e b são constantes que definem as características dinâmicas do neurônio. Além das equações diferenciais acima, que definem a evolução temporal do potencial de membrana e da variável de recuperação, o modelo de neurônio de Izhikevich também inclui uma regra para a geração de potenciais de ação, definida pela equação 5.3.

$$\text{se } V_m \geq V_{\text{peak}}, \quad \begin{cases} V_m \leftarrow V_{\text{min}} \\ u \leftarrow u + d \end{cases} \quad (5.3)$$

Quando o potencial de membrana atinge o valor de pico V_{peak} , um potencial de ação é gerado e o potencial de membrana é redefinido para o potencial pós-disparo V_{min} e a variável de recuperação u é incrementada em d , dificultando a geração de um próximo potencial de ação.

Figura 1 – Arquitetura da rede



Célula	k (nS/mV)	a (ms ⁻¹)	b (nS)	d (pA)	C_m (pF)	V_r (mV)	V_i (mV)	V_{min} (mV)	V_{peak} (mV)
● Granular madura	0.45	0.003	24.48	50	38	-77.4	-44.9	-66.47	15.49
● Granular imatura	0.139	0.002	-1.877	12.149	24.6	-63.66	-38.41	-48.2	83.5
◆ Musgosa	1.5	0.004	-20.84	117	258	-63.67	-37.11	-47.98	28.29
● HIPP	0.01	0.004	-2	40.52	58.7	-70	-50	-75	90
▲ Em cesto	0.81	0.097	1.89	553	208	-61.02	-37.84	-36.23	14.08
▲ Piramidal do CA3	0.79	0.008	-42.55	588	366	-63.2	-33.6	-38.87	35.86
● Inibitória do CA3	0.81	0.097	1.89	553	208	-61.02	-37.84	-36.23	14.08

Tabela 1 – Parâmetros do modelo Izhikevich por tipo de neurônio.

5.3 Modelo de sinapse

O modelo de sinapse, assim como o de neurônio, foi definido a partir do Hippocampome.org (WHEELER et al., 2023), seguindo a formulação de Tsodyks-Pawelzik-Markram Tsodyks, Pawelzik e Markram (1998). Esse modelo de sinapse possui 5 parâmetros e modela a plasticidade de curto prazo, seja ela a potenciação ou depressão de curto prazo.

O modelo é descrito por um sistema de equações diferenciais que governam a dinâmica de três variáveis: a fração de recursos sinápticos no estado recuperado (x), no estado ativo (y) e uma variável de facilitação (v):

$$\frac{dx}{dt} = \frac{1 - x - y}{\tau_r} \quad (5.4)$$

$$\frac{dy}{dt} = -\frac{y}{\tau_d} \quad (5.5)$$

$$\frac{dv}{dt} = -\frac{v}{\tau_f} \quad (5.6)$$

onde τ_r é a constante de tempo de recuperação, τ_d é a constante de tempo de inativação (decaimento) e τ_f é a constante de tempo de facilitação.

Quando um potencial de ação pré-sináptico ocorre, as variáveis são atualizadas sequencialmente da seguinte forma:

$$v \rightarrow v + U(1 - v) \quad (5.7)$$

$$y \rightarrow y + v \cdot x \quad (5.8)$$

$$x \rightarrow x - v \cdot x \quad (5.9)$$

onde U é um parâmetro que representa a fração de recursos que são utilizados a cada evento.

Finalmente, a corrente sináptica (I_{syn}) injetada no neurônio pós-sináptico é dada por:

$$I_{syn} = \text{scale} \cdot w \cdot g \cdot y \cdot (V_m - E) \quad (5.10)$$

onde scale é um fator de escala, w é o peso sináptico, g é a condutância sináptica, y é a fração de recursos ativos, V_m é o potencial de membrana do neurônio pós-sináptico e E é o potencial de reversão da sinapse.



























































Pré-sináptico	Pós-sináptico	Conexão	P (%)	g (nS)	τ_d (ms)	τ_r (ms)	τ_f (ms)	U
 Córtex Entorrinal	 Granular madura	Aleatória	8	1.825	5.333	266.239	18.714	0.27
 Córtex Entorrinal	 Granular imatura	Aleatória	0	1.825	5.333	266.239	18.714	0.27
 Córtex Entorrinal	 Musgosa	Aleatória	20	1.422	4.671	319.835	57.766	0.204
 Córtex Entorrinal	 Em cesto	Aleatória	20	1.406	3.849	144.415	48.2	0.214
 Córtex Entorrinal	 Piramidal do CA3	Aleatória	4	1.065	6.55	258.318	53.478	0.184
 Córtex Entorrinal	 Inibitória do CA3	Aleatória	20	1.556	3.602	457.468	35.904	0.21
 Granular madura	 Musgosa	Lamelar	20	1.713	5.347	428.583	73.479	0.151
 Granular madura	 HIPP	Aleatória	10	1.305	5.181	462.814	48.986	0.15
 Granular madura	 Em cesto	Lamelar	100	1.458	3.566	151.265	62.278	0.197
 Granular madura	 Piramidal do CA3	Lamelar	5	1.384	6.657	278.286	78.584	0.155
 Granular madura	 Inibitória do CA3	Lamelar	100	1.625	3.915	518.934	43.274	0.176
 Granular imatura	 Musgosa	Lamelar	20	1.713	5.347	428.583	73.479	0.151
 Granular imatura	 HIPP	Aleatória	10	1.305	5.181	462.814	48.986	0.15
 Granular imatura	 Em cesto	Lamelar	100	1.458	3.566	151.265	62.278	0.197
 Granular imatura	 Piramidal do CA3	Lamelar	5	1.384	6.657	278.286	78.584	0.155
 Granular imatura	 Inibitória do CA3	Lamelar	100	1.625	3.915	518.934	43.274	0.176
 Musgosa	 Granular madura	Entre lamelas	0.2	2.394	5.357	166.162	20.224	0.304
 Musgosa	 Granular imatura	Entre lamelas	0.2	2.394	5.357	166.162	20.224	0.304
 Musgosa	 HIPP	Entre lamelas	100	1.376	4.824	358.431	54.872	0.181
 Musgosa	 Em cesto	Entre lamelas	100	1.996	3.396	117.365	69.316	0.255
 HIPP	 Granular madura	Aleatória	20	2.002	8.935	559.143	8.396	0.278
 HIPP	 Em cesto	Aleatória	2	1.709	5.982	367.198	15.292	0.221
 Em cesto	 Granular madura	Lamelar	100	2.451	6.543	433.876	6.347	0.332
 Em cesto	 Granular imatura	Lamelar	100	2.451	6.543	433.876	6.347	0.332
 Em cesto	 HIPP	Aleatória	2	1.408	6.544	534.182	8.385	0.24
 Piramidal do CA3	 Piramidal do CA3	Aleatória	2	0.603	9.516	278.258	27.513	0.172
 Piramidal do CA3	 Musgosa	Lamelar	10	2.035	4.297	359.116	40.457	0.236
 Piramidal do CA3	 Inibitória do CA3	Aleatória	70	1.247	4.525	525.605	23.321	0.189
 Inibitória do CA3	 Piramidal do CA3	Aleatória	70	1.462	7.793	416.282	20.63	0.203

Tabela 2 – Parâmetros das sinapses entre as populações neuronais.

6 Resultados esperados

Resultados esperados

7 Cronograma

Tabela 3 – Cronograma

Variável	Estatísticas
A	V1
B	V2
C	V3
D	V4

Referências

BUTCHER, J. A history of Runge-Kutta methods. *Applied Numerical Mathematics*, v. 20, n. 3, p. 247–260, mar. 1996. ISSN 01689274. 13

HODGKIN, A. L.; HUXLEY, A. F. A quantitative description of membrane current and its application to conduction and excitation in nerve. *The Journal of Physiology*, v. 117, n. 4, p. 500–544, ago. 1952. ISSN 0022-3751, 1469-7793. 13

IZHIKEVICH, E. M. *Dynamical Systems in Neuroscience: The Geometry of Excitability and Bursting*. [S.l.]: The MIT Press, 2006. ISBN 978-0-262-27607-8. 13

STIMBERG, M.; BRETTE, R.; GOODMAN, D. F. Brian 2, an intuitive and efficient neural simulator. *eLife*, v. 8, p. e47314, ago. 2019. ISSN 2050-084X. 13

TSODYKS, M.; PAWELZIK, K.; MARKRAM, H. Neural Networks with Dynamic Synapses. *Neural Computation*, v. 10, n. 4, p. 821–835, maio 1998. ISSN 0899-7667, 1530-888X. 15

WHEELER, D. W. et al. *Hippocampome.Org v2.0: A Knowledge Base Enabling Data-Driven Spiking Neural Network Simulations of Rodent Hippocampal Circuits*. 2023. 15

APÊNDICE A – Análise de Robustez

Tabela 4 – Análise de robustez

Variável	Estatísticas
A	V1
B	V2
C	V3
D	V4

APÊNDICE B – Estatísticas descritivas

Tabela 5 – Análise descritiva adicional

Variável	Estatísticas
A	V1
B	V2
C	V3
D	V4